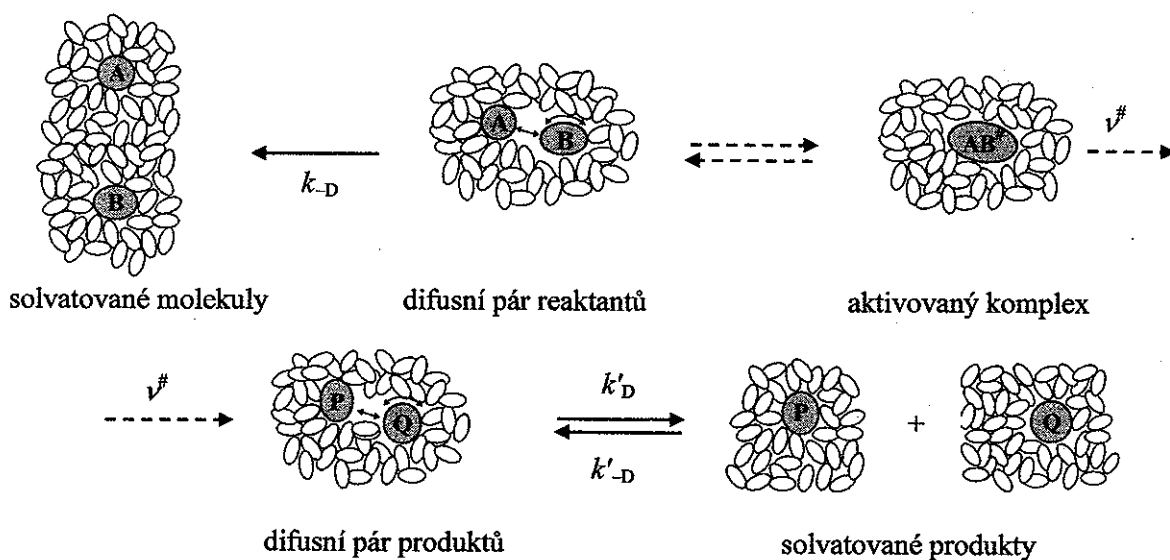


## 5 ELEMENTÁRNÍ REAKCE V ROZTOCÍCH

- Při elementární chemické reakci v roztoku nejsou částice reaktantů volné, jak je tomu při reakci v plynné fázi, nýbrž solvatované molekulami rozpouštědla.
- Solvatované částice reaktantů se dostávají do kontaktu **vzájemnou translační difusí**, která se řídí Fickovými zákony. Proto frekvence, s níž se do vzájemného kontaktu dostávají, je podstatně menší než při mezimolekulových srážkách v plynné fázi, jejichž četnost se řídí zákonitostmi vyplývajícími z kinetické teorie plynů.
- Když se však částice reaktantů dostanou do vzájemného kontaktu, nacházejí se v klíčce tvořené molekulami rozpouštědla, která prakticky znemožňuje jejich bezprostřední separaci. Částice uzavřené v klíčce se pak vzájemně srážejí a současně nezávisle na sobě rotují (rotační difuse) - říkáme, že vytvářejí **difusní pár**. Ten existuje tak dlouho, až se částice budou separovat zpět na nezávislé solvatované částice (separace translační difusí), nebo spolu začnou reagovat a přes aktivovaný komplex se přemění na produkty, obr. 5-1.
- Dobu separace  $t_{\text{sep}}$  difusního páru kulových částic A a B lze vypočítat ze vztahu:

$$t_{\text{sep}} = (d_{AB})^2 / 6D_{AB} \quad (= \text{cca } 10^{-11} \text{ až } 10^{-10} \text{ s})$$

kde  $d_{AB}$  je jejich srážkový průměr a  $D_{AB}$  difusní koeficient jejich vzájemné difuze ( $D_{AB} = D_A + D_B$ ). Jelikož doba potřebná na jednu mezimolekulovou srážku je cca  $10^{-13}$  s, uskuteční se v klíčce asi 100 až 1000 srážek, než dojde k separaci difusního páru. Tím se vyrovnává deficit frekvence vzájemných přiblížení reagujících částic na kontaktní vzdálost a zvyšuje se pravděpodobnost jejich vzájemné reakce, a to zvýšenou šancí na dosažení optimální vzájemné stérické orientace reaktantů. Tento, v podstatě mechanický efekt molekul rozpouštědla se nazývá **klecový efekt** (*cage effect*).



Obr. 5-1. Průběh elementární chemické reakce v roztoku

- Při chemické přeměně "uvězněných" reaktantů na produkty, aktivovaný komplex vzniká i zaniká v podmínkách, kdy jsou všechny tranzitní struktury solvatovány rozpouštědlem (reakčním prostředím). Protože tyto solvatační interakce ovlivňují energie tranzitních struktur, může rozpouštědlo tvorbu určitých těchto struktur favorizovat a jiných struktur naopak potlačovat. To se makroskopicky projevuje **vlivy rozpouštědla (reakčního prostředí)** na rychlosť chemické reakce, stereochemii jejich produktů a relativní výtežky jednotlivých možných produktů v případě konkurenčních reakcí.

Průběh elementární reakce v roztoku lze formálně popsat reakčním schématem:



kde  $k_D$ ,  $k_{-D}$  a  $k_R$  jsou rychlostní konstanty tvorby difusních párů, separace difusních párů a chemické přeměny difusních párů na produkty ( $k_R = \nu^{\#} \cdot K^{\#}$ ). Na toto schéma aplikujeme approximaci stacionárního stavu pro difusní páry  $A \cdots B$ :

$$k_D \cdot [A] \cdot [B] = (k_{-D} + k_R) \cdot [A \cdots B]_{st} \Rightarrow [A \cdots B]_{st} = \frac{k_D \cdot [A] \cdot [B]}{k_{-D} + k_R} \quad (5-2)$$

a pro rychlosť elementární reakce v roztoku,  $v = k_R \cdot [A \cdots B]_{st}$ , získáme obecný vztah:

$$v = \frac{k_R \cdot k_D \cdot [A] \cdot [B]}{k_{-D} + k_R} \quad (5-3)$$

#### Limitní řešení pro rovnici (5-3)

a)  $k_{-D} \ll k_R$ ; limitní případ, kdy separace difusních párů reaktantů je nesrovnatelně pomalejší než jejich přeměna na produkty:

$$v = \frac{k_R \cdot k_D \cdot [A] \cdot [B]}{k_{-D} + k_R} = k_D \cdot [A] \cdot [B] \quad (5-4)$$

V těchto případech se prakticky každý vzniklý difusní pár reaktantů přemění na produkty. Proto se jedná o **reakce řízené difusi**, neboť o jejich výsledné rychlosti rozhoduje rychlosť tvorby difusních párů. Do této kategorie patří většina reakcí s poločasem řádově  $10^{-7}$  až  $10^{-4}$  s; v silně viskózních prostředích však mohou být hodnoty poločasů podstatně vyšší (viz dále).

b)  $k_{-D} \gg k_R$ ; druhý limitní případ, kdy separace difusních párů je nesrovnatelně rychlejší než jejich přeměna na produkty:

$$v = \frac{k_R \cdot k_D \cdot [A] \cdot [B]}{k_{-D} + k_R} = k_R \cdot K_D \cdot [A] \cdot [B] \quad (5-5)$$

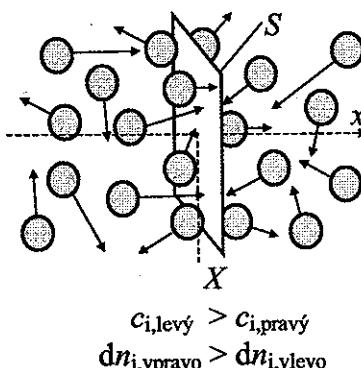
kde  $K_D = k_D/k_{-D}$  je **rovnovážná konstanta tvorby difusních párů**. V těchto případech se v reakční směsi rychle ustaví rovnovážná koncentrace difusních párů reaktantů, které se pomalu mění na produkty. Tehdy se jedná o **reakce řízené chemickým dějem**, neboť o jejich výsledné rychlosti rozhoduje rychlosť chemické přeměny difusních párů na produkty (nejpomalejší děj). Do této kategorie patří většina chemických reakcí v roztocích, jejichž poločasy jsou od cca  $10^{-3}$  s výše.

## 5.1 REAKCE ŘÍZENÉ (KONTROLOVANÉ) DIFUSÍ

Rychlosť tvorby difusních párů A...B je vlastně rovna frekvenci (vyjádřené v jednotkách mol/s) vzájemných přiblížení difundujících částic A a B na kontaktní vzdálenost  $d_{AB}$  v jednotkovém objemu roztoku. Tuto frekvenci lze vypočítat ze zákonů, jimiž se řídí difuse. Tak lze teoreticky odvodit vztah pro rychlostní konstantu difusně kontrolované reakce.

### 5.1.1 DIFUSE, BROWNŮV POHYB, MIKROBROWNŮV POHYB

V roztoku konají částice rozpuštěné látky (stejně jako molekuly rozpouštědla) neutrální tepelný pohyb, který je co do směru zcela nahodilý - všechny možné směry pohybu částice v následujícím okamžiku jsou stejně pravděpodobné (viz obr. 5-2). Stejně nahodilý je i *Brownův pohyb* koloidní částice. Proto se pro tepelný pohyb částic molekulových rozměrů používá termín *mikrobrownův pohyb*.



Obr. 5-2. Difuse - pohled na molekulové úrovni

Není-li koncentrace rozpuštěných částic ve všech objemových elementech roztoku stejná, pak mikrobrownův pohyb jednotlivých částic (molekulární úroveň) vede k makroskopickému ději - difusi těchto částic. Uvažujme dva stejně velké sousední objemové elementy roztoku,  $dV$ , levý a pravý, oddělené plochou o velikosti  $S$  kolmou k ose  $x$  (viz obr. 5-2). Nechť koncentrace částic i vlevo od plochy  $S$  je větší než vpravo od této plochy:

$c_{i,\text{levý}} > c_{i,\text{pravý}}$ . Nepůsobí-li na částice síly dlouhého dosahu, zejména elektrostatické, koná každá z nich na ostatních částicích nezávislý mikrobrownův pohyb. Díky tomu jistá frakce  $f$  z častic vyskytujících se původně v levém objemovém elementu přejde za čas  $dt$  do pravého objemového elementu a stejně velká frakce  $f$  z častic vyskytujících se původně v pravém objemovém elementu přejde za stejný čas  $dt$  opačným směrem, do levého objemového elementu. Jelikož koncentrace v levém a pravém elementu  $dV$  jsou rozdílné, jsou látková množství častic prošlých plochou  $S$  vpravo a vlevo rozdílná:

$$dn_{i,\text{vpravo}} = fc_{i,\text{levý}} dV \quad dn_{i,\text{vlevo}} = fc_{i,\text{pravý}} dV \quad (5-6)$$

$$dn_{i,\text{vpravo}} - dn_{i,\text{vlevo}} = (c_{i,\text{levý}} - c_{i,\text{pravý}}) f dV = dn_i \quad (5-7)$$

Formálně tedy během časového intervalu  $dt$  projde plochou  $S$   $dn_i$  častic ve směru jejich koncentračního spádu a objevuje se fenomén *difusního toku*. Jsou-li koncentrace na obou stranách plochy  $S$  shodné,  $c_{i,\text{levý}} = c_{i,\text{pravý}}$ , je  $dn_i = 0$  a k difusi nedochází, byť její molekulární podstata - mikrobrownův pohyb častic - ani v tomto případě neustává. Odtud vyplývá, že difuse se objevuje v každé soustavě, ve které existují fluktuace v jejím složení, tj. koncentrační gradienty.

Na makroskopické úrovni je tedy difuse uspořádaným tokem častic orientovaným ve směru jejich lokálního koncentračního spádu, kterým jsou odstraňovány rozdíly ve složení jednotlivých oblastí soustavy. Jsou-li tyto rozdíly odstraněny, má každý objemový element soustavy stejné složení a k difusi v ní nedochází.

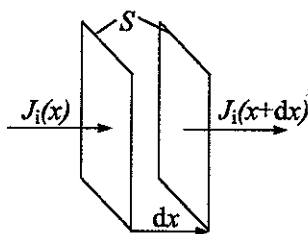
K difusi dochází i v soustavách obsahujících dispergované koloidní částice konající Brownův pohyb, když se v nich vyskytují koncentrační gradienty těchto častic.

### 5.1.2 ZÁKONY DIFUSE

**Fickovy zákony.** Zákony difuse formuloval A. E. Fick (něm. fyziolog, 1829-1901). Jeho první zákon je empirický - formulovaný na základě experimentů, a uvádí v souvislost difusní tok častic s jejich koncentračním gradientem; pro lineární difusi má tvar:

$$\text{1. Fickův zákon} \quad J_{i,X} = \left[ \frac{dn_i}{dt} \right]_X = -D_i \cdot S \cdot \left[ \frac{\partial c_i}{\partial x} \right]_X \quad (5-8)$$

Zde  $J_{i,X} = (dn_i/dt)_X$  je *difusní tok* častic  $i$  v bodě  $X$  ve směru jejich koncentračního spádu podél osy  $x$ , tj. výsledné látkové množství častic  $i$ ,  $dn_i$  (rovn. 5-7), které za čas  $dt$  projde plochou  $S$  (viz. obr. 5-2);  $(\partial c_i / \partial x)_X$  je *koncentrační gradient* látky  $i$  v bodě  $X$ , který je v tomto případě záporný - koncentrace klesá v kladném směru osy  $x$ , proto je v rovnici (5-8) znaménko minus;  $D_i$  je *difusní koeficient* častic  $i$  v daném prostředí (základní jednotka SI:  $\text{m}^2 \text{s}^{-1}$ ).



Obr. 5-3. K odvození 2. Fickova zákona

Na základě svého 1. zákona odvodil A. E. Fick 2. zákon, který popisuje, jak se v určitém objemovém elementu soustavy v důsledku difuse mění koncentrace difundující látky s časem. Mějme objemový element vymezený dvěma plochami o velikosti  $S$  a infinitezimální vzdáleností  $dx$  (obr. 5-3). Nechť do tohoto elementu levou plochou  $S$  vstupují částice i difusním tokem  $J_i(x)$  a pravou plochou z něj tyto částice vystupují difusním tokem  $J_i(x+dx)$ . Časová změna látkového množství častic i v tomto objemovém elementu,  $(dn_i/dt)_x$ , je pak dána rozdílem těchto difusních toků:

$$\left[ \frac{dn_i}{dt} \right]_x = J_i(x) - J_i(x+dx) \quad (5-9)$$

Pro infinitezimální vzdálenost  $dx$  lze difusní tok  $J_i(x+dx)$  vyjádřit jako součet difusního toku  $J_i(x)$  a jeho gradientu v místě  $x$ ,  $\partial J_i(x)/\partial x$ , vynásobeného vzdáleností  $dx$  (v podstatě jde o běžný předpoklad infinitezimálního počtu - lineární pokles veličiny na infinitezimálním intervalu  $dx$ ):  $J_i(x+dx) = J_i(x) + \{\partial J_i(x)/\partial x\} \cdot dx$ . Po dosazení za  $J_i(x+dx)$  do (5-9) pak dostaneme:

$$(dn_i/dt)_x = -\{\partial J_i(x)/\partial x\} \cdot dx = SD_i \{\partial^2 c_i(x)/\partial x^2\} dx \quad (5-10)$$

Derivace byla provedena po dosazení za  $J_i(x)$  z rovn. (5-8). Jelikož součin  $Sdx$  je roven objemu uvažovaného objemového elementu, pak podíl  $dn_i/Sdx = dc_i$ . Vydělením rovnice 5-10 součinem  $Sdx$  tedy získáme hledanou závislost časové změny koncentrace  $c_i$  způsobené difusním tokem častic i:

**2. Fickův zákon**  $\left[ \frac{dc_i}{dt} \right]_x = D_i \left[ \frac{\partial^2 c_i}{\partial x^2} \right]_x \quad (5-11)$

Řešením této parciální diferenciální rovnice 2. řádu lze získat vztah pro hodnotu střední kvadratické vzdálenosti,  $\langle x^2 \rangle$ , do které molekuly i prodifundují za zvolenou dobu  $t$ :

$$\langle x^2 \rangle = 2D_i t \quad (5-12)$$

ze kterého lze odhadnout průměrnou dobu  $t$ , kterou molekuly potřebují k tomu, aby prodifundovaly v průměru do vzdálenosti  $\langle x^2 \rangle^{1/2}$ . Typické hodnoty difusních koeficientů molekul jsou řádově  $10^{-12} \text{ m}^2 \text{s}^{-1}$ . Pro  $D_i = 1 \cdot 10^{-12} \text{ m}^2 \text{s}^{-1}$  získáme následující hodnoty  $t$ , které

názorně ukazují, že transport molekul difusí je nesmírně rychlý na mikroskopické vzdálenosti, avšak nesmírně pomalý, jedná-li se o vzdálenosti makroskopické.

**Tabulka 5.1.** Střední doby potřebné k čistě difusnímu transportu molekul s difusním koeficientem  $D_i = 1 \cdot 10^{-12} \text{ m}^2 \text{s}^{-1}$  na různé mikroskopické a makroskopické vzdálenosti.

difuse na vzdálenost	typický objekt	potřebná doba
3 - 5 nm	buněčná membrána	4,5 – 12,5 $\mu\text{s}$
30 - 50 nm	makromolekula	0,45 – 1,25 ms
1 - 10 $\mu\text{m}$	buňka, film kapaliny	0,5 – 50 s
1 mm	kapka	$5 \cdot 10^5 \text{ s} = 5,8 \text{ dní}$
10 cm	kádinka, baňka	$5 \cdot 10^7 \text{ s} = 1,585 \text{ roku}$
1 m		$5 \cdot 10^{11} \text{ s} = 15\,855 \text{ let}$

**Stokesova - Einsteinova rovnice** podává teoretické odvození 1. Fickova zákona a poskytuje vztah mezi difuzním koeficientem částic a viskozitním koeficientem prostředí. Podle Einsteina lze na difusní tok látky A ve směru osy x (viz. obr. 5-4) formálně nahlížet jako na:

- ustálený tok častic A pohybujících se průměrnou rychlosí  $\langle v \rangle_x$  ve směru osy x,
- jehož hnací silou je gradient chemického potenciálu ve směru toku (zde osy x):

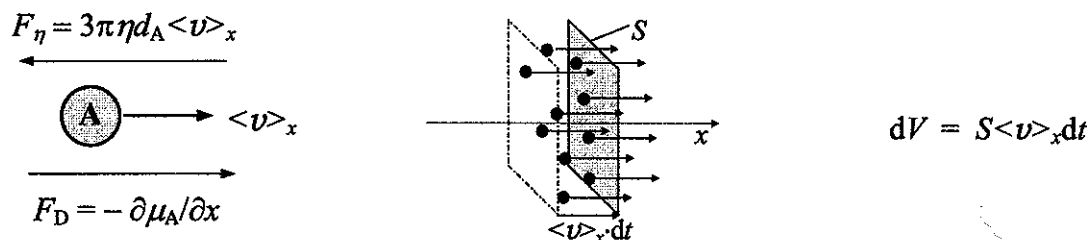
$$F_D = -\partial\mu_A/\partial x \quad (5-13)$$

kde  $\mu_A = \mu_A^0 + RT \cdot \ln(c_A \gamma_A) \cong \mu_A^0 + RT \cdot \ln c_A$  ( $\gamma_A = 1$  pro neinteragující částice),

- proti kterému působí viskózní odpór prostředí daný Stokesovým zákonem  $F_\eta = f_A \langle v \rangle_x$ , kde  $f_A$  je frikční koeficient částice A.

Pro kulové částice je  $f_A = 6\pi\eta r_A = 3\pi\eta d_A$ , kde  $\eta$  je viskozitní koeficient prostředí a  $r_A$  poloměr a  $d_A$  průměr pohybující se kulové částice; tehdy Stokesova rovnice nabývá známý tvar:

$$F_\eta = 6\pi\eta r_A \langle v \rangle_x \quad \text{resp.} \quad F_\eta = 3\pi\eta d_A \langle v \rangle_x \quad (5-14)$$



Obr. 5-4. K odvození Einsteinovy-Stokesovy rovnice

Při ustáleném látkovém toku projdou plochou  $S$  za jednotku času ty částice, které se nacházejí v objemovém elementu  $dV$  vymezeném plochou  $S$  a součinem  $\langle v \rangle_x dt$  (obr. 5-4). Je-li  $c_A$  koncentrace častic A v elementu  $dV$ , je látkové množství prošlých častic,  $dn_A$ , rovno součinu  $c_A dV$ :

$$dn_A = c_A dV = c_A S \langle v \rangle_x dt \quad \text{takže} \quad J_A = \frac{dn_A}{dt} = c_A S \langle v \rangle_x \quad (5-15)$$

Hnací síla,  $F_D$ , toku častic A musí být při ustáleném toku rovna součinu viskózního odporu kladeného prostředím jedné částici,  $F_\eta$  a Avogadrovy konstanty  $N_A$  (protože  $F_D$  je síla působící na 1 mol častic). Z rovnosti  $F_D = N_A F_\eta$  lze vypočítat průměrnou rychlosť  $\langle v \rangle_x$ :

$$-\frac{\partial \mu_A}{\partial x} = -\frac{RT}{c_A} \frac{\partial c_A}{\partial x} = 3\pi N_A \eta d_A \langle v \rangle_x \quad (5-16)$$

$$\langle v \rangle_x = -\frac{RT}{3\pi N_A \eta d_A c_A} \frac{\partial c_A}{\partial x} = -\frac{kT}{3\pi \eta d_A c_A} \frac{\partial c_A}{\partial x} \quad (5-17)$$

kde  $k = R/N_A$  je Boltzmanova konstanta.

Po dosazení za  $\langle v \rangle_x$  z rovn. (5-17) do (5-15) dostaneme 1. Fickův zákon ve tvaru:

$$J_{A,X} = \left[ \frac{dn_A}{dt} \right]_X = -\frac{c_A S k T}{3\pi \eta d_A c_A} \left[ \frac{\partial c_A}{\partial x} \right]_X = -\frac{k T}{3\pi \eta d_A} S \left[ \frac{\partial c_A}{\partial x} \right]_X \quad (5-18)$$

ze kterého, na základě porovnání s 1. Fickovým zákonem, vyplývá následující výraz pro difusní koeficient  $D_A$ , obecně známý jako Stokesova-Einsteinova rovnice:

$$\text{Stokesova-Einsteinova rovnice} \quad D_A = \frac{k T}{3\pi \eta d_A} = \frac{k T}{f_A} \quad (5-19)$$

kde  $f_A$  je frikční koeficient částice A, který je pro kouli roven  $3\pi \eta d_A$  (viz. výše).

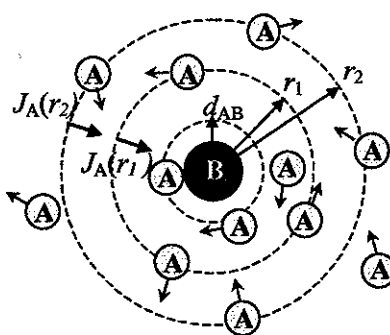
### 5.1.3 VÝPOČET RYCHLOSTNÍ KONSTANTY $k_D$

**Smoluchowskoho model růstu koloidní částice.** K výpočtu rychlosti difusí kontrolované elementární reakce byl využit Smoluchowskoho model pro růst koloidní částice B postupným zachycováním k ní přidifundovaných molekul A. V rámci tohoto modelu je centrální částice B považována za "černou díru", v níž mizí všechny částice A, které se k ní přiblíží na kontaktní vzdálenost  $d_{AB}$ . Tím je indukován ustálený centro-symetrický difusní tok častic A k částici B, při kterém každou kulovou plochou se středem v částici B projde za čas  $dt$  právě tolik častic A, kolik jich za tu dobu "zmizí" v částici B. Difusní tok častic A plochou  $4\pi r^2$  tedy nezávisí na radiální souřadnici  $r$  (viz obr. 5-5):

$$J_A(r_1) = J_A(r_2) = \dots = J_A(r_i) = \dots = \text{konst.} = J_A \quad (5-20)$$

Při kulově symetrickém difusním toku částic A ke stojící centrální částici B je:

- koncentrační gradient kladný (!!), neboť difuzní tok směřuje k souřadnici  $r = 0$
- a plochou kolmou ke směru toku je povrch koule:  $S = 4\pi r^2$ .



Obr. 5-5. Smoluchowského model růstu koloidní částice.

Proto pro tento případ nabývá 1. Fickův zákon tvar:

$$J_A = \frac{dn_A}{dt} = 4\pi \cdot r^2 \cdot D_A \cdot \frac{\partial [A]}{\partial r} \quad (5-21)$$

Takto je rychlosť růstu vyjádřena pomocí lokálního koncentračního gradientu částic A v místě  $r$ , což je nepraktické. Je-li však postulována nezávislost toku  $J_A$  na souřadnici  $r$ , lze diferenciální rovnici (5-21) po separaci proměnných integrovat a získat pro  $J_A$  nediferenciální algebraický vztah, v němž je jediná nezávisle proměnná - analytická koncentrace částic A,  $[A]$ :

$$\int_{d_{AB}}^{\infty} \frac{\partial r}{r^2} = \frac{4\Box D_A}{J_A} \int_0^{[A]} \partial [A] \quad \text{integrace:} \quad \left[ -\frac{1}{r} \right]_{d_{AB}}^{\infty} = \frac{1}{d_{AB}} = \frac{4\Box D_A}{J_A} [A] \quad (5-22)$$

Získaný vztah:  $J_A = 4\pi D_A d_{AB} [A]$ , vyjadřuje difuzní tok částic A k jedné stojící částici B. Ve skutečnosti však i koloidní částice B koná Brownův pohyb, který lze charakterizovat jejím difusním koeficientem  $D_B$ , takže efektivně jde blížícím se částicím A náhodným způsobem vstříc. O frekvenci kontaktů A s B pak nerozhoduje difusní koeficient  $D_A$ , ale **koeficient vzájemné difuze částic A a B,  $D_{AB}$** , který je, v první, dosti přesné aproximaci, roven součtu difusních koeficientů částic A a B. S touto korekcí nabývá Smoluchowského rovnice tvar:

$$J_A = 4\pi D_{AB}d_{AB}[A] \quad \text{kde} \quad D_{AB} = D_A + D_B \quad (5-23)$$

V případě růstu koloidní částice je dále nutno respektovat, že s narůstající velikostí koloidní částice se úměrně zvyšuje hodnota  $d_{AB}$  a naopak klesá hodnota difusního koeficientu  $D_B$ . Centrosymetrická difuse má důležitou roli i v polarografii (viz. elektrochemie).

**Adaptace Smoluchowského modelu na neiontové reakce řízené difusí.** Rozpuštěné částice reaktantu B lze formálně považovat za soubor chaoticky se pohybujících "černých děr", z nichž ke každé centrosymetricky difundující částici A (inverzní model: B difundují k A, je ekvivalentní). Za předpokladu, že tok částic A vyhovuje podmínce stacionárního stavu (5-20), bude průměrná frekvence střetu častic A s jednou částicí B rovna difusnímu toku  $J_A$  danému vztahem (5-23). Je-li v soustavě  $N_B$  častic B, pak frekvence střetu častic A a B, tj. rychlosť konverze častic A i B,  $-dn_A/dt = -dn_B/dt$ , je rovna  $N_B$ -násobku toku  $J_A$ :

$$-dn_A/dt = N_B J_A = n_B N_A J_A \quad \Rightarrow \quad v = -d[A]/dt = N_A J_A [B] \quad (5-24)$$

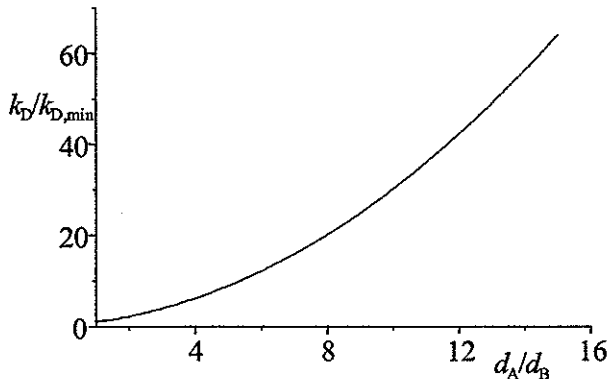
kde  $N_A$  je Avogadrova konstanta! Po dosazení za  $J_A$  z rovn. (5-10) získáme konečný vztah pro rychlosť difusí kontrolované elementární reakce:

$$v = 4\pi N_A D_{AB} d_{AB} [A] [B] = k_D [A] [B] \quad (5-25)$$

kde

$$k_D = 4\pi N_A D_{AB} d_{AB} \quad (5-26)$$

je rychlostní konstanta difusí kontrolované elementární reakce  $A + B \rightarrow$  produkty.



Obr. 5-6. Závislost rychlostní konstanty  $k_D$  na poměru průměrů reagujících kulových častic  $d_A/d_B$ ;  $k_{D,\min} = 8RT/3\eta$  je minimální hodnota, kterou  $k_D$  nabývá když  $d_A = d_B$ .

Pro kulové reaktanty lze vztah pro  $k_D$  zjednodušit použitím Stokesovy-Einsteinovy rovnice (5-19) k vyjádření koeficientu vzájemné difuse  $D_{AB} = D_A + D_B$ :

$$D_A + D_B = \frac{kT}{3\pi\eta d_A} + \frac{kT}{3\pi\eta d_B} = \frac{kT}{3\pi\eta} \left( \frac{1}{d_A} + \frac{1}{d_B} \right) \quad (5-27)$$

Dosazením z (5-27), spolu se vztahem pro  $d_{AB} = (d_A + d_B)/2$ , do rovnice (5-26) dostaneme:

$$k_D = \frac{4\pi N_A k T}{3\pi\eta} \left( \frac{1}{d_A} + \frac{1}{d_B} \right) \left( \frac{d_A + d_B}{2} \right)^2 = \frac{2RT}{3\eta} \frac{(d_A + d_B)^2}{d_A d_B} \quad (5-28)$$

Reagují-li spolu kulové molekuly o stejném průměru,  $d_A = d_B$ , pak je:

$$k_D = \frac{8RT}{3\eta} = k_{D,\min} \quad (5-29)$$

Jelikož funkce  $(d_A + d_B)^2/d_A d_B$  nabývá minima právě pro  $d_A = d_B$ , je i  $k_D$  vypočtená podle rovn. (5-29) minimální; ve všech ostatních případech kdy  $d_A \neq d_B$  jsou hodnoty  $k_D$  vyšší (viz. obr. 5-6). Hodnoty rychlostních konstant  $k_{D,\min}$  vypočtené podle rovnice (5-29) pro různá rozpouštědla jsou uvedeny v Tabulce 5.2.

#### 5.1.4 DIFUSÍ KONTROLOVANÉ REAKCE IONTŮ

Při reakcích iontů působí na částice vedle termodynamické síly, gradientu chemického potenciálu, též elektrostatické síly indukující vzájemnou migraci iontů v lokálních elektrických polích. V tomto případě se hnací síla látkového toku 1 mol difundujících částic,  $F_D$ , skládá z příspěvku chemického potenciálu (viz. rovn. 5-13) a  $N_A$ -násobku potenciální energie,  $u$ , částice A v poli částice B ( $u = z_A z_B e^2 / 4\pi\epsilon r$  je rovno práci potřebné k přenesení částice s nábojem  $z_A e$  z nekonečna do vzdálenosti  $r$  od částice s nábojem  $z_B e$ ), který si označíme  $U$ :

$$U = N_A u = \frac{N_A z_A z_B e^2}{4\pi\epsilon r} \quad (5-30)$$

kde  $\epsilon$  je absolutní permitivita prostředí (součin permitivita vakua a relativní permitivity,  $\epsilon = \epsilon_0 \epsilon_r$ ). Pro difusi ve směru poklesu radiální souřadnice  $r$  pak bude platit:

$$F_D = \frac{\partial}{\partial r} (\mu_A + U) = \frac{RT}{c_A} \frac{\partial c_A}{\partial r} + \frac{\partial U}{\partial r} = \frac{RT}{c_A} \left[ \frac{\partial c_A}{\partial r} + \frac{c_A}{RT} \frac{\partial U}{\partial r} \right] \quad (5-31)$$

a po dosazení do rovnice  $F_D = F_\eta$  získáme pro průměrnou rychlosť radiálního látkového toku  $\langle v \rangle_r$ , pro případ kulových iontů výraz:

$$\langle v \rangle_r = \frac{kT}{3\pi\eta d_A c_A} \left[ \frac{\partial c_A}{\partial r} + \frac{c_A}{RT} \frac{\partial U}{\partial r} \right] \quad (5-32)$$

a pro centrosymetrický látkový tok častic A kulovou plochou  $S = 4\pi r^2$  k jedné stojící časti- ci B dostaneme vztah (analogie rovn. 5-21):

**Tabulka 5.2.** Hodnoty rychlostních konstant pro difusí kontrolované reakce kulových částic o stejném průměru vypočtené podle rovnice  $k_{D,\min} = 8RT/3\eta$ .

rozpuštědlo	T	$\eta^1)$	$k_{D,\min}$	rozpuštědlo	T	$\eta^1)$	$k_{D,\min}$
	°C	mPas	dm <sup>3</sup> mol <sup>-1</sup> s <sup>-1</sup>		°C	mPas	dm <sup>3</sup> mol <sup>-1</sup> s <sup>-1</sup>
aceton	20	0,304	$2,17 \cdot 10^{10}$	hexan	25	0,2985	$2,21 \cdot 10^{10}$
cyklohexan	25	0,898	$7,36 \cdot 10^9$	methanol	25	0,5445	$1,21 \cdot 10^{10}$
diethylenglykol	25	30	$2,20 \cdot 10^8$	pentan	20	0,235	$2,77 \cdot 10^{10}$
diethylether	20	0,233	$2,33 \cdot 10^{10}$	tetrahydrofuran	25	0,460	$1,44 \cdot 10^{10}$
ethanol	25	1,078	$6,13 \cdot 10^9$	toluen	25	0,5516	$1,20 \cdot 10^{10}$
ethylenglykol	25	15,64	$4,23 \cdot 10^8$	voda	5	1,51	$4,08 \cdot 10^9$
glycerol	20	1490	$4,36 \cdot 10^6$		20	1,0019	$6,49 \cdot 10^9$
	25	954	$6,93 \cdot 10^6$		25	0,8904	$7,42 \cdot 10^9$
	30	629	$1,07 \cdot 10^7$		30	0,7973	$8,43 \cdot 10^9$
	50	142	$5,05 \cdot 10^7$		80	0,3547	$2,21 \cdot 10^{10}$

<sup>1)</sup> Hodnoty  $\eta$  převzaty z: Vohlídal J., Julák J., Štulík K. *Chemické a analytické tabulky*; Grada Publishing s.r.o., Praha 1999.

$$J_A = \frac{dn_A}{dt} = 4\pi r^2 D_A \left( \frac{\partial c_A}{\partial r} + \frac{c_A}{RT} \frac{\partial U}{\partial r} \right) \quad (5-33)$$

Diferenciální funkci v závorce lze nahradit exponencielou, a to proto, že tento výraz je součástí derivace součinu  $c_A \cdot \exp(U/RT)$  podle  $r$ :

$$\frac{\partial(c_A \cdot e^{U/RT})}{\partial r} = e^{U/RT} \left( \frac{\partial c_A}{\partial r} + \frac{c_A}{RT} \frac{\partial U}{\partial r} \right) \quad (5-34)$$

Dosazením z rovn. (5-34) do (5-33) získáme diferenciální rovnici:

$$J_A = \frac{4\pi r^2 D_A}{e^{U/RT}} \frac{\partial(c_A \cdot e^{U/RT})}{\partial r} \quad (5-35)$$

Opět předpokládáme stacionární tok  $J_A$  nezávislý na  $r$  a provedeme separaci proměnných:

$$\partial(c_A \cdot e^{U/RT}) = \frac{J_A}{4\pi D_A} \frac{e^{U/RT} \partial r}{r^2} \quad (5-36)$$

Je zřejmé, že pravá strana rovn. (5-36), která je funkcí vzdálenosti  $r$ , bude integrována v mezích od  $d_{AB}$ , kde je  $c_A = 0$  a  $e^{U/RT}$  má jistou konečnou hodnotu, takže součin těchto dvou veličin je nulový, do  $\infty$ , kde  $c_A = [A]$  a  $U = 0$  a tedy  $e^{U/RT} = 1$ . Odtud vyplývají pro levou stranu této rovnice integrační meze od 0 do  $[A]$ :

$$\int_0^{[A]} \partial(c_A \cdot e^{U/RT}) = \left[ c_A \cdot e^{U/RT} \right]_0^{[A]} = [A] \quad (5-37)$$

Protože  $U$  je úměrné  $1/r$  (rovn. 5-30), použijeme k integraci pravé strany rovn. (5-36) substituci:

$$\rho = 1/r \quad d\rho = -dr/r^2 \quad (5-38)$$

čímž dostaneme rovnici (kde  $a = N_A z_A z_B e^2 / 4\pi \epsilon_0 \epsilon R T = z_A z_B e^2 / 4\pi \epsilon_0 \epsilon k T$ ):

$$\int_{1/d_{AB}}^0 -e^{a\rho} d\rho = -[e^{a\rho}/a]_{1/d_{AB}}^0 = (e^{a/d_{AB}} - 1)/a = (e^\delta - 1)/\delta d_{AB} \quad (5-39)$$

kde  $\delta = z_A z_B e^2 / 4\pi \epsilon_0 \epsilon k T$ . Integrací rovn. (5-36) tedy dostaneme vztah:

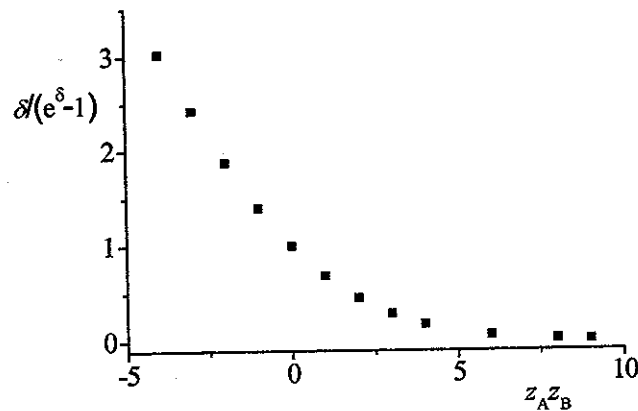
$$[A] = \frac{J_A(e^\delta - 1)}{4\pi D_A \delta} \quad \text{takže} \quad J_A = 4\pi D_A d_{AB} \frac{\delta}{(e^\delta - 1)} \quad (5-40)$$

kde  $J_A$  je látkový tok částic A k jedné stojící částici B. V analogii s předcházejícím případem pak pro rychlosť a rychlostní konstantu difuzí kontrolované reakce kulových iontů, dostaneme následující konečné výrazy:

$$v = 4\pi N_A D_{AB} d_{AB} \frac{\delta}{(e^\delta - 1)} [A][B] = k_D [A][B] \quad (5-41)$$

kde  $k_D = \frac{2RT}{3\eta} \frac{(d_A + d_B)^2}{d_A d_B} \frac{\delta}{(e^\delta - 1)}$  (5-42)

resp.  $k_D = \frac{8RT}{3\eta} \frac{\delta}{(e^\delta - 1)}$  pro  $d_A = d_B$ . (5-43)



Obr. 5-7. Vliv Coulombických interakcí na difusí kontrolované reakce iontů ve vodných roztocích při 25 °C pro srážkový průřez 1 nm

Pro typický srážkový průměr  $d_{AB} = 1$  nm a teplotu 25 °C (298,15 K) platí pro koeficient  $\delta$  vztah:  $\delta = 56,05 z_A z_B / \epsilon_r$ . S jeho pomocí lze snadno odhadnout, že pro reakce ve vodě, jejíž relativní permitivita je vysoká, není vliv elektrostatických interakcí na rychlostní konstantu  $k_D$  příliš veliký (viz. obr. 5-7). Avšak pro reakce ve středně a málo polárních rozpouštědlech mohou být hodnoty korekčního členu  $\delta/(e^\delta - 1)$  značné (viz. Tabulka 5.3).

**Tabulka 5.3.** Hodnoty korekčního členu  $\delta/(e^\delta - 1)$  pro difusí kontrolované reakce iontů v různě polárních rozpouštědlech pro srážkový průřez 1 nm a teplotu 25 °C.

rozpuštědlo	$\epsilon_r$	$z_A z_B$							
		1	2	4	6	-1	-2	-3	-4
aceton	20,7	0,193	0,0242	$2,14 \cdot 10^{-4}$	$1,43 \cdot 10^{-6}$	2,90	5,44	8,13	10,83
ethylenglykol	37,7	0,434	0,160	0,0156	0,00119	1,92	3,13	4,51	5,96
methanol	32,7	0,377	0,115	0,00723	$3,52 \cdot 10^{-4}$	2,09	3,54	5,17	6,86
tetrahydrofuran	7,58	0,00455	$5,59 \cdot 10^{-6}$	$4,23 \cdot 10^{-12}$	$2,40 \cdot 10^{-18}$	7,40	14,8	22,2	29,6
voda	78,54	0,685	0,451	0,174	0,060	1,40	1,88	2,43	3,03

## 5.2 REAKCE V ROZTOCÍCH ŘÍZENÉ CHEMICKÝM DĚJEM

Teorii aktivovaného komplexu lze aplikovat i na elementární reakce v roztocích, ovšem s tím rozdílem, že je nutno vzít v úvahu vlivy reakčního prostředí (rozpuštědlo a v něm rozpuštěné látky) na jejich průběh:

- nestlačitelnost kapalin - **vliv tlaku na reakční rychlosť** je prakticky dán jeho vlivem na rychlostní konstantu reakce;
- **permitivita rozpouštědla** ovlivňuje coulombické interakce mezi ionty a tím i rychlosť iontových reakcí v roztocích;
- **iontová síla prostředí** rovněž ovlivňuje coulombické interakce mezi ionty a tím i rychlosť iontových reakcí v roztocích;
- **rozdíly solvatačních energií reaktantů a aktivovaného komplexu** ovlivňují kinetiku neiontových reakcí v roztocích;
- **reakční prostředí ovlivňuje distribuci reakčních produktů bočných reakcí**, a to tím, že některé z možných směrů preferuje a jiné naopak potlačuje.

### 5.2.1 VLIV TLAKU NA ELEMENTÁRNÍ REAKCE V ROZTOCÍCH

Vyjádříme-li rychlostní konstantu elementární reakce v rámci teorie aktivovaného komplexu:  $k = (kT/h)\exp(-\Delta G^\# / RT)$ , pak jedinou tlakově závislou veličinou v tomto výrazu je aktivační Gibbsovy energie  $\Delta G^\#$ . Derivace  $\Delta G$  podle tlaku při konstantní teplotě

je podle známého termodynamického vztahu rovna změně objemu  $\Delta V$ . Tu v tomto případě nazýváme **aktivační objem** a označujeme  $\Delta V^\#$ , neboť se jedná o změnu objemu soustavy doprovázející tvorbu 1 mol částic aktivovaného komplexu z odpovídajících stechiometrických množství reaktantů:

$$\frac{\partial(\Delta G^\#)}{\partial p} = \Delta V^\# \quad (5-44)$$

Abychom účelně využili vztah (5-44), je vhodné analyzovat závislost  $\ln k$  na tlaku, pro kterou s pomocí této rovnice dostaneme následující diferenciální výraz:

$$\frac{\partial(\ln k)}{\partial p} = \frac{\partial}{\partial p} \left( \ln \frac{kT}{h} - \frac{\Delta G^\#}{RT} \right) = - \frac{1}{RT} \frac{\partial(\Delta G^\#)}{\partial p} = - \frac{\Delta V^\#}{RT} \quad (5-45)$$

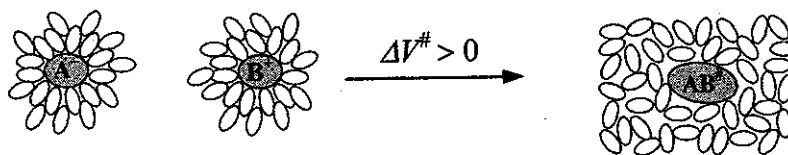
Integrací této rovnice za předpokladu, že  $\Delta V^\#$  nezávisí na tlaku, dostaneme konečnou rovnici:

$$\ln \frac{k}{k_0} = - \frac{\Delta V^\#}{RT} (p - p_0) \quad (5-46)$$

kde  $k_0$  je rychlostní konstanta při tlaku  $p_0$ , za který se obvykle volí standardní tlak 101 325 Pa. Z této rovnice je zřejmé, že:

- když  $\Delta V^\# > 0$ , např. při disociaci molekuly:  $AB \rightarrow (A\dots B)^\# \rightarrow A + B$ , rychlostní konstanta  $k$  bude s klesat s rostoucím tlakem, neboť jeho nárůst působí proti tvorbě aktivovaného komplexu;
- když  $\Delta V^\# < 0$ , např. při slučování dvou častic:  $A + B \rightarrow (A\dots B)^\# \rightarrow AB$ , rychlostní konstanta  $k$  se bude s rostoucím tlakem zvyšovat, neboť jeho nárůst působí ve prospěch tvorby aktivovaného komplexu.

Vliv tlaku na rychlostní konstantu dle rovnice (5-46) se uplatňuje i při reakcích v plynné fázi a obecně není příliš velký - výrazněji se projevuje až při tlakových změnách řádově 10 až 100 MPa. Při reakcích v roztocích však k této závislosti často rozhodujícím způsobem přispívají změny v solvatačních obalech reaktantů. V tomto případě se  $\Delta V^\#$  skládá z příspěvků reaktantů,  $\Delta V_r^\#$ , a solvatačních obalů,  $\Delta V_s^\#$ :  $\Delta V^\# = \Delta V_r^\# + \Delta V_s^\#$ . Solvatační příspěvek  $\Delta V_s^\#$  bývá o řadu vyšší než příspěvek reaktantů, neboť se jedná o příspěvek podstatně většího počtu častic. Uplatňuje se zejména při iontových reakcích, kdy elektrostatické pole iontů indukuje vznik uspořádanějších, a tedy kompaktnějších, asociátů molekul rozptouštěla v okolí iontů.



Obr. 5-8. K výkladu elektrostrikce; tvorba nenabitého aktivovaného komplexu z kationtu a aniontu vedoucí k méně uspořádanému solvátovému obalu, případ, kdy  $\Delta V^\# > 0$ .

Reaguje-li anion s kationem, je náboj aktivovaného komplexu buď nulový (pro  $-z_A = z_B$ ), nebo přinejmenším menší, než náboj libovoľného z reaktantů. V dôsledku toho se sníží uspořádanost a kompaktnosť solvátového obalu a výsledný  $\Delta V^\# > 0$ . Naopak, pri reakci souhlasne nabitych iontov se objemový element zaujímaný uspořádaným solvátovým obalem zväčší a výsledný  $\Delta V^\# < 0$ . Tento jav, jehož podstatou je vliv iontov a z nich vzniklého aktivovaného komplexu na uspořádanost solvátového obalu, se nazýva **elektrostrikcia** (viz. obr. 5-8).

### 5.2.2. VLIV COULOMBIKÝCH INTERAKCÍ REAKTANTŮ

Je-li elementární reakce iontov kontrolovaná chemickým dějem (přeměnou difusního páru na reaktanty), ovlivňují coulombické interakce iontov nejen tvorbu a stabilitu difusních párů, ale také jejich přeměnu na aktivovaný komplex. Tyto interakce přispívají k aktivační Gibbsové energii reakce,  $\Delta G^\#$ , která je v tomto případě složena ze tří příspěvků: příspěvku nenabitych reaktantů  $\Delta G_r^\#$ , příspěvku coulombických interakcí reaktantů  $\Delta G_c^\#$  a příspěvku solvátového obalu (reakčního prostředí)  $\Delta G_s^\#$ . Příspěvky reaktantů a reakčního prostředí (viz. následující kapitola) můžeme sloučit do jednoho člena  $\Delta G_0^\#$ :

$$\Delta G^\# = \Delta G_r^\# + \Delta G_s^\# + \Delta G_c^\# = \Delta G_0^\# + \Delta G_c^\# \quad (5-47)$$

Dosazením z rovn. (5-47) do vztahu pro rychlostní konstantu  $k$  pak získáme vztah vhodný pro analýzu vlivu elektrostatických interakcí reagujících iontov na rychlostní konstantu jejich elementární reakce:

$$\ln k = \ln \frac{kT}{h} - \frac{\Delta G_0^\#}{RT} - \frac{\Delta G_c^\#}{RT} = \ln k_0 - \frac{\Delta G_c^\#}{RT} \quad (5-48)$$

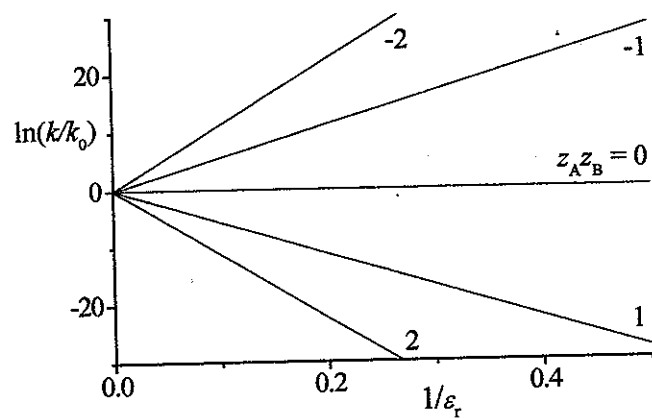
Příspěvek  $\Delta G_c^\#$  je molární veličina; je roven  $N_A$ -násobku práce potřebné k přenesení částice A s nábojem  $z_A e$  z nekonečna do vzdálenosti  $d_{AB}$  od částice reaktantu B s nábojem  $z_B e$  (viz též rovn. 5-30), kde  $d_{AB}$  je vzdálenost častic A a B v aktivovaném komplexu.

$$\Delta G_c^\# = \frac{N_A z_A z_B e^2}{4\pi\epsilon_0\epsilon_r d_{AB}} \quad (5-49)$$

Dosazením z rovn. (5-49) do (5-48) získáme konečný vztah pro závislost rychlostní konstanty na relativní permitivitě prostředí  $\epsilon_r$ . Všimněte si, že formálně je pravá strana rovnice (5-50) rovna parametru  $\delta$  figurujícímu v rovn. (5-40) pro difusí kontrolované reakce iontov, což není překvapující, neboť v obou případech se jedná o efekt elektrostatických interakcí.

$$\ln \frac{k}{k_0} = - \frac{N_A z_A z_B e^2}{4\pi\epsilon_0\epsilon_r d_{AB} RT} = - \frac{z_A z_B e^2}{4\pi\epsilon_0 d_{AB} k T} \frac{1}{\epsilon_r} \quad (5-50)$$

Pro srážkový průměr  $d_{AB} = 1 \text{ nm}$  a teplotu  $25^\circ\text{C}$  platí že  $\ln(k/k_0) = 56,05 z_{AZB}/\varepsilon_r$ . Závislosti  $\ln(k/k_0)$  na  $1/\varepsilon_r$  pro různé hodnoty součinu  $z_{AZB}$  jsou ukázány v obr. 5-9. Pro velká  $\varepsilon_r$ , tj. pro  $1/\varepsilon_r \rightarrow 0$ , limituje  $\ln(k/k_0)$  k nule, tj.  $k = k_0$ . Tehdy jsou, v souladu s Coulombovým zákonem, elektrostatické síly působící mezi ionty prakticky eliminovány. Extrapolací experimentální závislosti  $\ln(k/k_0)$  na  $1/\varepsilon_r$  k hodnotě  $1/\varepsilon_r = 0$  lze tedy získat hodnotu rychlostní konstanty  $k_0$ .



Obr. 5-9. Vliv relativní permitivity prostředí,  $\varepsilon_r$ , na rychlostní konstantu elementární reakce iontů v roztocích podle rovn. (5-50) pro  $d_{AB} = 1 \text{ nm}$  a teplotu  $25^\circ\text{C}$ .

**Elektrostatický příspěvek k aktivační entropii**, tj. coulombický příspěvek ke stérickému faktoru reakce, lze zjistit z elektrostatického příspěvku  $\Delta G_c^\#$ . Ten je sumou entalpickeho a entropického člena:  $\Delta G_c^\# = \Delta H_c^\# - T\Delta S_c^\#$ . Příspěvek  $\Delta S_c^\#$  je tedy roven parciální derivaci  $\Delta G_c^\#$  podle teploty při konstantním tlaku:  $\Delta S_c^\# = -\partial(\Delta G_c^\#)/\partial T$ . V rovnici pro  $\Delta G_c^\#$  (5-49) je jedinou teplotně závislou veličinou relativní permitivita prostředí  $\varepsilon_r$  (teplotní závislost  $d_{AB}$  lze zanedbat), takže lze psát:  $\Delta G_c^\# = C/\varepsilon_r$  kde  $C = N_{AZB}z^2e^2/4\pi\varepsilon_0 d_{AB}$ . Potom:

$$\Delta S_c^\# = -\frac{\partial(\Delta G_c^\#)}{\partial T} = -C \frac{\partial(1/\varepsilon_r)}{\partial T} = \frac{C \partial \varepsilon_r}{\varepsilon_r^2 \partial T} = \frac{C}{\varepsilon_r} \frac{\partial(\ln \varepsilon_r)}{\partial T} = \Delta G_c^\# \frac{\partial(\ln \varepsilon_r)}{\partial T} \quad (5-51)$$

Pro  $d_{AB} = 1 \text{ nm}$  je  $C = 1,389 \cdot 10^5 z_{AZB}$ ; pro iontové reakce ve vodě při  $25^\circ\text{C}$  je  $\varepsilon_r = 78,54$  a hodnota  $\partial \varepsilon_r / \partial T = -0,36 \text{ K}^{-1}$ . Dosazením těchto hodnot do vztahu (5-51) dostaneme:  $\Delta S_c^\# = -8,108 z_{AZB} (\text{JK}^{-1}\text{mol}^{-1})$  a pro změnu elektrostatického příspěvku ke stérickému faktoru při změně hodnoty součinu  $z_{AZB}$  o jednotku získáme relativně nízkou hodnotu:  $\exp(\Delta S_c^\#/R) = e^{0,975} = 2,65$ . Pro reakce menších iontů, např. pro  $d_{AB} = 0,25 \text{ nm}$ , je  $\Delta S_c^\#$  čtyřnásobná a změna stérického faktoru činí asi 50-tinásobek:  $\exp(\Delta S_c^\#/R) = e^{3,90} = 49$ .

### 5.2.3 SPECIFICKÉ VLIVY REAKČNÍHO PROSTŘEDÍ.

Při odvozování vztahu pro rychlostní konstantu v rámci teorie aktivovaného komplexu jsme se dopustili menší nepřesnosti: do rovnice pro reakční rychlosť  $v = (kT/h)[X^\#]$

jsme za rovnovážnou koncentraci  $[X^\#]$  dosadili vztah:  $[X^\#] = K^\# [A][B]$ , který předpokládá jednotkové aktivitní koeficienty. Při exaktnějším postupu však musíme vzít aktivitní koeficienty v úvahu, neboť o rovnováze rozhodují aktivity částic, nikoli jejich koncentrace. Potom:

$$[X^\#] = K^\# [A][B] \frac{\gamma_A \gamma_B}{\gamma_\#} \quad \text{a tedy} \quad v = (kT/h)K^\# \frac{\gamma_A \gamma_B}{\gamma_\#} [A][B] \quad (5-52)$$

a pro rychlostní konstantu elementární reakce získáme přesnější vztah:

$$k = \frac{kT}{h} K^\# \frac{\gamma_A \gamma_B}{\gamma_\#} = k^* \frac{\gamma_A \gamma_B}{\gamma_\#} \quad (5-53)$$

kde  $k^*$  je ideální rychlostní konstanta pro jednotkové aktivitní koeficienty. Specifické vlivy reakčního prostředí pak lze interpretovat jako jeho vlivy na aktivitní koeficienty reaktantů a aktivovaného komplexu.

**Vliv iontové síly - primární solný efekt.** Již koncem 19. století bylo známo, že iontová síla reakčního prostředí,  $I = \sum c_i z_i^2$ , kterou lze regulovat např. volbou koncentrace indiferentního elektrolytu, má prokazatelný vliv na rychlostní konstantu elementární reakce iontů. Tento efekt byl pojmenován *primární iontový efekt* a v rámci teorie aktivovaného komplexu ho lze vysvětlit jako vliv  $I$  na aktivitní koeficienty figurující v rovnici (5-53). Pro zředěné roztoky lze aktivitní koeficient iontu vyjádřit *Debyeovým-Hückelovým* limitním vztahem:

$$\log \gamma_i = -Az_i^2 \sqrt{I} \quad (5-54)$$

kde  $A$  je konstanta (pro vodu při 25 °C je  $A \approx 0,5 \text{ mol}^{-1/2} \text{ dm}^{3/2}$ ). Z tohoto vztahu dosadíme do zlogaritmované rovnice (5-53):  $\log k = \log k^* + \log \gamma_A + \log \gamma_B - \log \gamma_\#$ , přičemž vezmeme v úvahu, že nábojové číslo aktivovaného komplexu,  $z_\# = z_A + z_B$ :

$$\log k = \log k^* - A[z_A^2 + z_B^2 - (z_A + z_B)^2] \sqrt{I} = \log k^* + 2Az_Az_B \sqrt{I} \quad (5-55)$$

Ideální závislosti podle rovnice (5-55) pro reakce iontů ve vodě při 25 °C jsou ukázány v obr. 5-10. Pro koncentrovanější roztoky musíme pro aktivitní koeficienty  $\gamma_i$  použít složitější vztahy:

$$\log \gamma_i = -\frac{Az_i^2 \sqrt{I}}{1 + Ba \sqrt{I}} \quad \text{resp.} \quad \log \gamma_i = -\frac{Az_i^2 \sqrt{I}}{1 + Ba \sqrt{I}} + \beta_i I \quad (5-56)$$

kde  $a$  je poloměr iontu a  $B$  parametr rovnice (pro ionty o poloměru 0,3 - 0,5 nm bývá součin  $Ba \approx 1$ ) a  $\beta_i$  je další, v podstatě empirický parametr. I pro tyto případy lze získat

rozumný kvantitativní vztah pro vyhodnocení primárního iontového efektu, zejména pro  $Ba \approx 1$ :

$$\log k = \log k^* + \frac{2Az_Az_B\sqrt{I}}{1 + \sqrt{I}} + \Delta\beta I \quad (5-57)$$

kde  $\gamma = \beta_A + \beta_B - \beta_{\#}$ . Zatímco vztah odvozený na základě Debyeova-Hückelova limitního i rozšířeného vztahu předpokládá pro reakci iontu s nenabitou částicí nezávislost rychlostní konstanty na iontové síle prostředí, vztah s koeficientem  $\Delta\beta$  tuto závislost zhruba vystihuje. Tak je respektována skutečnost, že ionty elektrostaticky interagují i s nenabitými molekulami, neboť je svým elektrickým polem polarizují. Protože tyto interakce, nezávisle na znaménku náboje iontu, jsou vždy přitažlivé, takže obecně napomáhají tvorbě aktivovaného komplexu, musí být v těchto případech  $\Delta\beta$  záporné.

**Fyzikálně-chemický výklad vlivu permitivity a iontové síly reačního prostředí.** Reagující ionty na sebe působí buď přitažlivými nebo odpudivými silami (atrakce resp. repulze), které budou podporují (když  $z_Az_B < 0$ ), nebo naopak znesnadňují (když  $z_Az_B > 0$ ) tvorbu aktivovaného komplexu. Nacházejí-li se však ionty v prostředí silně polárních molekul rozpouštědla (vysoké hodnoty  $\epsilon_r$ ), jsou jejich elektrická pole zeslabena interakcemi s polárními molekulami rozpouštědla, takže vzájemné elektrostatické interakce reagujících iontů jsou významně zeslabeny. To vysvětuje formální *vliv relativní permitivity* na rychlostní konstantu  $k$  podle rovnice (5-50). Analogicky, jsou-li v reakčním prostředí přítomny ionty indiferentního elektrolytu, jsou elektrická pole iontů - reaktantů částečně vysycena interakcemi s ionty indiferentního elektrolytu a jejich vzájemné interakce jsou proto zeslabeny. To vysvětuje vliv *iontové síly* reačního prostředí na rychlostní konstantu elementární reakce,  $k$ , podle rovnice (5-55) resp. (5-57).

**Vliv solvatačních efektů při reakcích elektroneutrálních částic.** I tento problém řešíme na základě rovnice (5-53), do níž musíme dosadit vztahy pro **aktivitní koeficienty neelektrolytů**, které nejsou obecně příliš známé. Stejně jako v případě roztoků elektrolytů, i v případě neelektrolytů musí aktivitní koeficienty musí vystihovat odchylinky chování reálných roztoků od roztoků ideálních.

*Ideální roztok* vzniká z mísených komponent beze změny celkového objemu soustavy a s nulovým směšovacím teplem,  $\Delta H_{mix} = 0$ , tedy atermálně. Hnací silou mísení je tedy směšovací entropie,  $\Delta S_{mix}^*$  (hvězdička označuje ideální roztok). Vznikne-li ideální roztok smísením  $n_1$  mol rozpouštědla s  $n_2$  mol rozpouštěné látky, je směšovací entropie (extenzivní veličina) tohoto procesu dána vztahem:

$$\Delta S_{mix}^* = -R(n_1 \ln x_1 + n_2 \ln x_2) \quad (5-58)$$

a molární směšovací entropie vztahem:

$$\Delta S^{M*} = \Delta S_{mix}^*/(n_1 + n_2) = -R(x_1 \ln x_1 + x_2 \ln x_2) \quad (5-59)$$

kde  $x_1$  a  $x_2$  jsou molární zlomky rozpouštědla (1) a rozpouštěné látky (2). Jelikož při vzniku ideálního roztoku je  $\Delta H^M = 0$ , je molární Gibbsova energie tohoto procesu,  $\Delta G^{M*}$ , dána pouze příspěvkem entropického členu:

$$\Delta G^{M^*} = RT(x_1 \ln x_1 + x_2 \ln x_2) = x_1 g_{1*} + x_2 g_{2*} \quad \text{ideální roztoky} \quad (5-60)$$

kde  $g_{i*} = RT \ln x_i$  je parciální molární Gibbsova energie složky  $i$  v ideálním roztoku;  $g_{i*} = \partial(\Delta G^{M^*})/\partial x_i$ . Rovnice (5-60) tedy zároveň vyjadřuje i aditivitu parciálních molárních Gibbsových energií složek roztoku. Tato aditivita platí i pro reálné roztoky, ovšem s tím rozdílem, že pro ně je parciální molární Gibbsova energie dána vztahem obsahujícím místo molárního zlomku aktivitu příslušné složky:  $g_i = RT \ln a_i = RT \ln(x_i \gamma_i)$ . Pro reálný roztok tedy bude platit:

$$\begin{aligned} \Delta G^M &= x_1 \Delta G_1 + x_2 \Delta G_2 = RT(x_1 \ln a_1 + x_2 \ln a_2) = \\ &= RT(x_1 \ln x_1 + x_2 \ln x_2) + RT(x_1 \ln \gamma_1 + x_2 \ln \gamma_2) = \Delta G^{M^*} + \Delta G^E \end{aligned} \quad (5-61)$$

kde  $\Delta G^E = RT(x_1 \ln \gamma_1 + x_2 \ln \gamma_2)$  je dodatková molární směšovací Gibbsova energie, která je aditivní funkcí logaritmů aktivitních koeficientů složek roztoku.

- Je-li mísení ideální, tj. atermální ( $\Delta H^M = 0$ ), je  $\Delta G^M = \Delta G^{M^*}$  (viz. 5-60) a  $\Delta G^E = 0$ ;
- Je-li mísení neideální, je  $\Delta H^M \neq 0$  a také  $\Delta G^E \neq 0$ .

Jelikož  $\Delta G^M = \Delta H^M - T\Delta S^M$ , přičemž entropický příspěvek  $T\Delta S^M = \Delta G^{M^*}$ , je zřejmé, že  $\Delta G^E$  je v podstatě rovno směšovací entalpii  $\Delta H^M$ .

$$\Delta G^E = RT(x_1 \ln \gamma_1 + x_2 \ln \gamma_2) = \Delta H^M \quad (5-62)$$

Pro směšovací entalpii nepolárních látek,  $\Delta H^M$ , odvodil Hildebrand vztah:

$$\Delta H^M = V\phi_1\phi_2(\delta_1 - \delta_2)^2 \quad (5-63)$$

kde  $V = x_1 V_1 + x_2 V_2$  je objem jednoho molu roztoku ( $V_1$  a  $V_2$  jsou parciální molární objemy rozpouštědla a rozpustené látky) a  $\phi_1$  a  $\phi_2$  jsou objemové frakce složek roztoku.  $\delta_1$  a  $\delta_2$  jsou (Hildebrandovy) parametry rozpustnosti složek roztoku, definované jako odmocnina podílu kohezní energie,  $E_{coh}$ , kterou lze ztotožnit s výparnou entalpií složky při aktuální teplotě,  $\Delta H_{výp}$ , a molárního objemu složky  $V_i$ :

$$\delta_i = (E_{coh,i}/V_i)^{1/2} = (\Delta H_{výp,i}/V_i)^{1/2} \quad (5-64)$$

Po dosazení z (5-63) do (5-62) dostaneme:

$$RT(x_1 \ln \gamma_1 + x_2 \ln \gamma_2) = V\phi_1\phi_2(\delta_1 - \delta_2)^2 \quad (5-65)$$

Uvažujme nyní zředěný roztok látky 2 v rozpouštědle 1. Tehdy bude  $\phi_1 \rightarrow 1$  a také  $\gamma_1 \rightarrow 1$ ; takže  $x_1 \ln \gamma_1 \rightarrow 0$ , takže levá strana rovnice (5-65) se zredukuje na výraz  $RTx_2 \ln \gamma_2$  a její pravá strana na výraz  $V\phi_2(\delta_1 - \delta_2)^2$ . Jelikož  $\phi_2 \cong x_2 V_2/V$ , získáme rovnici:

$$x_2 RT \ln \gamma_2 \approx x_2 V_2 (\delta_1 - \delta_2)^2 \quad (5-66)$$

a odtud pro aktivitní koeficient rozpouštěné látky vztah:

$$\ln \gamma_2 \approx V_2 (\delta_1 - \delta_2)^2 / RT = V_2 \delta_{12}^2 / RT \quad (5-67)$$

kde  $V_2$  je molární objem rozpouštěné látky a  $\delta_{12}^2 = (\delta_1 - \delta_2)^2$  je člen, který především rozhoduje o intenzitě solvatačních interakcí. Pro látku se stejným parametrem rozpustnosti jako má rozpouštědlo, tj. pro  $\delta_1 = \delta_2$ , je  $\delta_{12} = 0$ , takže  $\gamma_2 = 1$ ; tehdy bude  $\Delta G^E = 0$  a roztok se bude chovat ideálně, a to jak z hlediska aktivitních koeficientů, tak z hlediska termodynamických kritérií vedoucích k rovn. (5-61). Všimněte si, že pravá strana rovnice (5-67) je formálně stavovou rovnici ideálního plynu, protože  $\delta_{12}$  má rozdíl tlaku; jedná se vlastně o jakousi diferenci kohezních tlaků rozpouštěné látky a rozpouštědla. Dále si všimněte toho, že  $\delta_{12} \geq 0$ , takže podle rovnice (5-67) je  $\gamma_2 \geq 1$  ve všech případech!

Rovnici vystihující vliv solvatačních efektů odvodíme již velmi jednoduše, pouhým dosazením za  $\ln \gamma_i$  do zlogaritmované rovnice (5-53):

$$\ln k = \ln k^* + \ln \gamma_A + \ln \gamma_B - \ln \gamma_{\#} = \ln k^* + \frac{1}{RT} (V_A \delta_{AS}^2 + V_B \delta_{BS}^2 - V_{\#} \delta_{\#S}^2) \quad (5-68)$$

kde index  $s$  se vztahuje k rozpouštědlu a indexy  $A$ ,  $B$  a  $\#$  k reaktantům a aktivovanému komplexu.

Z rovnice (5-68) vyplývá, že pro reakci bude příznivé, když rozpouštědlo bude velmi dobře, prakticky ideálně, solvatovat aktivovaný komplex,  $V_{\#} \delta_{\#S}^2 \rightarrow 0$ , a zároveň špatně solvatovat reaktanty. Bude-li ale rozpouštědlo dobře solvatovat reaktanty ale špatně solvatovat aktivovaný komplex, poběží v něm táz reakce hůře. Tak např. reakce, při níž z nepolárních reaktantů vzniká středně polární aktivovaný komplex, bude ve středně polárném rozpouštědle probíhat rychleji než v rozpouštědle nepolárném. Odtud vyplývá, že z vlivu rozpouštědel na rychlostní konstantu studované reakce lze získat kvalitativní informace o struktuře jejího aktivovaného komplexu.

Při podobných kvalitativních analýzách je však nutno vzít v úvahu nejen polaritu rozpouštědla, ale i jeho polarizovatelnost, schopnost vytvářet vodíkové vazby apod. Pro tyto účely lze využít parametry rozpustnosti separované na příspěvky disperzních sil (nepolárních interakcí), polárních interakcí a vodíkových vazeb dostupné ve speciálnějších publikacích (např.: Brandrup J., Immergut J.H. *Polymer Handbook*, Interscience, New York, 1975 (1. vydání); Van Krevelen D., *Properties of Polymers; Their Estimation and Correlation with Chemical Structure*, Elsevier, Amsterdam 1977). Parametry rozpustnosti se používají i k odhadům mísitelnosti kapalin a rozpustnosti pevných látek, včetně polymerů, v různých rozpouštědlech. Platí pravidlo, že dobré mísitelné (vzájemně rozpustné) jsou takové dvojice látek, jejichž parametry rozpustnosti  $\delta$  se neliší o více než o cca  $5 \text{ J}^{1/2} \text{ cm}^{-3/2}$ .